

стенки являются бесконечно проводящими (идеально отражающими). При этом задача о собств. колебаниях сводится (в однородной среде) к решению векторного волнового уравнения для поля E при условии обращения в нуль его тангенциальной составляющей на стенках резонатора S :

$$\Delta E + \omega^2 \epsilon \mu E = 0, \operatorname{div} E = 0, E_{\text{танг}}|_S = 0, H = i\omega^{-1} \operatorname{rot} E. \quad (1)$$

Прямоугольный резонатор. Если полость $O. p.$ представляется собой прямоугол. параллелепипед $0 \leq x \leq a, 0 \leq y \leq b, 0 \leq z \leq l$ (рис. 1), то при решении задачи (1) используют декартову систему координат, в к-рой переменные векторного волнового ур-ния допускают разделение. Такой $O. p.$ можно рассматривать как «закороченный» (перегороженный проводящими стенками) отрезок прямоуг. волновода *металлического, ориентированный, напр., в z -направлении и имеющий длину l ; он напоминает интерферометр Фабри — Перо с той лишь разницей, что между плоскостями $z = 0$ и $z = l$*

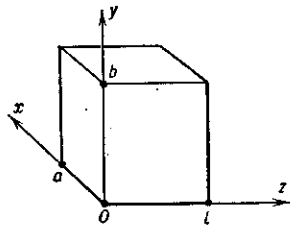


Рис. 1. Прямоугольный объёмный резонатор.

теперь «мечутся» волноводные моды, т. е. плоские неоднородные волны. Поэтому классификацию собств. колебаний прямоуг. $O. p.$ обычно производят по типам волноводных мод, как бы «пойманных» между плоскостями $z = 0, z = l$. Различают колебания TE_{nmp} - и TM_{nmp} -типов. В первом случае речь идёт о стоячей волноводной TE -волне, в к-рой вектор E поляризован в плоскости $z = \text{const}$, а проекции полей E и H на оси (x, y, z) имеют вид

$$\begin{aligned} E_x &\sim k_y k_z^{-1} \cos(k_x x) \sin(k_y y) \sin(k_z z), \\ E_y &\sim -k_x k_z^{-1} \sin(k_x x) \cos(k_y y) \sin(k_z z), \\ H_x &\sim i c k_x k_z \omega^{-1} k^{-1} \sin(k_x x) \cos(k_y y) \cos(k_z z), \\ H_y &\sim i c k_y k_z \omega^{-1} k^{-1} \cos(k_x x) \sin(k_y y) \cos(k_z z), \\ H_z &\sim -i c (k_x^2 + k_y^2) \omega^{-1} k^{-1} \cos(k_x x) \cos(k_y y) \sin(k_z z). \end{aligned} \quad (2)$$

Здесь k_x, k_y, k_z — компоненты волнового числа k :

$$k^2 = \omega^2 \epsilon \mu / c^2 = k_x^2 + k_y^2 + k_z^2, \quad (3)$$

причём граничное условие $E_{\text{танг}}|_S = 0$ фиксирует величины этих компонент

$$k_x = k_x^{(n)} = n\pi/a, k_y = k_y^{(m)} = m\pi/b, k_z = k_z^{(p)} = p\pi/l. \quad (4)$$

Следовательно, спектр собств. частот определяется ф-лой

$$\omega_{2nmp}^2 = \frac{c^2 \pi^2}{\epsilon \mu} \left(\frac{n^2}{a^2} + \frac{m^2}{b^2} + \frac{p^2}{l^2} \right). \quad (5)$$

Индексы n, m, p пробегает значения $0, 1, 2, \dots$, но в нуль может обращаться только один из них. Мин. собств. частота свойственна моде, у к-рой равен нулю индекс, относящийся к наим. размеру $O. p.$, напр. при $l > b > a$ это $\omega_{011} = \pi l (b^{-2} + l^{-2})^{1/2} \sqrt{\epsilon \mu}$. Структура поля в такой моде, а также структура поля моды TE_{111} воспроизведены на рис. 2. Поля типа TM_{nmp} можно получить из (2) заменой $E \rightarrow H, H \rightarrow E, \epsilon \rightleftharpoons \mu$, однако при этом граничное условие $E_{\text{танг}}|_S = 0$ преобразуется в $H_{\text{танг}}|_S = 0$, т. е. изменяются эл.-динамич. свойства стенок резонатора: они вместо «электрических» становятся «магнитными».

Для записи TM -полей в идеальном $O. p.$ с «электрическими» стенками соответствующее «магнитным» стенкам решение необходимо сдвинуть на четверть периода,

т. е. заменить $z \rightarrow z + \pi/2k_z^{(p)}, y \rightarrow y + \pi/2k_y^{(m)}, x \rightarrow x + \pi/2k_x^{(n)}$ ($k_z^{(p)} \neq 0, k_y^{(m)} \neq 0, k_x^{(n)} \neq 0$). В результате такого сдвига спектр собств. колебаний (4), (5) останется без изменений, но ни один из индексов n, m, p не сможет уже принимать нулевое значение, все они будут начинаться с 1: $n = 1, 2, 3, \dots; m = 1, 2, 3, \dots; p = 1, 2, 3, \dots$. Распределение поля в моде типа

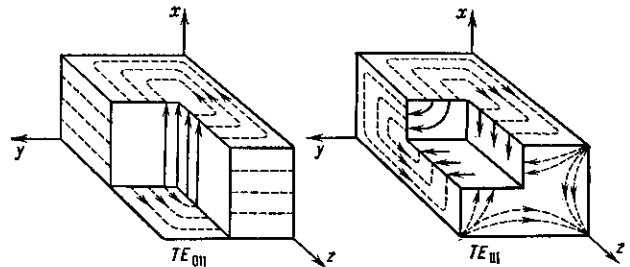


Рис. 2. Простейшие колебания (моды) TE -типа в прямоугольном объёмном резонаторе. Распределение электрического (сплошные линии) и магнитного (пунктир) полей.

TM_{111} показано на рис. 3.

Т. о., все собств. колебания изображённого на рис. 1 идеального $O. p.$ с ненулевыми индексами, $n \neq 0, m \neq 0, p \neq 0$, оказываются, по крайней мере, дву-

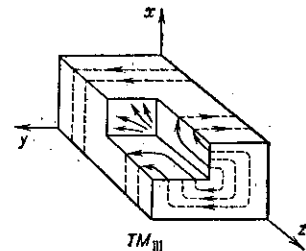


Рис. 3. Распределение электрического (сплошные линии) и магнитного (пунктир) полей в моде TM_{111} прямоугольного объёмного резонатора.

кратно вырожденными по TE - и TM -поляризациям. Степень вырождения может быть и более высокой, если к.-л. из размеров a, b, l совпадают между собой. Макс. кратность вырождения (12) достигается для частот ω_{nll} кубического $O. p.$ ($a = b = l$).

Резонаторы, в к-рых возбуждены вырожденные моды, эквивалентны LC -контурам, имеющим одну и ту же собств. частоту $\omega = (LC)^{-1/2}$, но никак не связанным друг с другом. При наличии индуктивной или ёмкостной связи вырождение снимается, такая система контуров будет колебаться на новых нормальных частотах, различающихся между собой. В случае двух контуров (двух мод) зависимость новых частот от старых определяется известным графиком Вина (см. также *Связанные системы*). В $O. p.$ связь между вырожденными модами может осуществляться небольшой деформацией стенок или внесением внутрь небольших возмущающих тел, напр. проводящих шариков радиусом $r \ll \lambda$; при помещении последних в пучности поля $E(H)$ связь получается ёмкостной (индуктивной). На

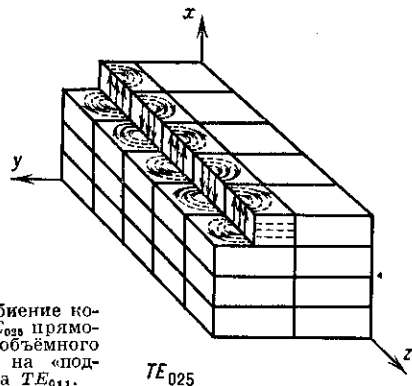


Рис. 4. Разбиение колебания TE_{025} прямоугольного объёмного резонатора на «подмоды» типа TE_{011} .

цией стенок или внесением внутрь небольших возмущающих тел, напр. проводящих шариков радиусом $r \ll \lambda$; при помещении последних в пучности поля $E(H)$ связь получается ёмкостной (индуктивной). На